



ارزیابی ژنوتیپ‌های گندم نان تحت شرایط تنش خشکی در مرحله گیاهچه‌ای با استفاده از شاخص‌های خشکی

رقیه خوجوم‌لی^۱، خلیل زینلی‌نژاد^{۲*}، علی‌اصغر نصرالمنژاد قمی^۳، سعید باقری کیا^۲

۱. دانش‌آموخته کارشناسی ارشد، گروه اصلاح نباتات و بیوپتکنولوژی، دانشگاه علوم کشاورزی و منابع طبیعی گرگان

۲. استادیار گروه اصلاح نباتات و بیوپتکنولوژی، دانشگاه علوم کشاورزی و منابع طبیعی گرگان

۳. استادیار بخش تحقیقات زراعی-باغی، مرکز تحقیقات و آموزش کشاورزی و منابع طبیعی گلستان، سازمان تحقیقات، آموزش و ترویج کشاورزی، گرگان

تاریخ دریافت: ۹۸/۱۲/۱۲؛ تاریخ پذیرش: ۹۹/۰۱/۲۰

چکیده

وجود تنش خشکی در ابتدای فصل رشد یکی از مهم‌ترین عوامل تهدیدکننده تولید گندم کشور است. طول کلثوپتیل مهم‌ترین صفت مورفولوژیک در تعیین عمق کاشت، قدرت سبز کردن و استقرار گیاهچه است. به منظور ارزیابی تعدادی از ژنوتیپ‌های بومی گندم نان تحت تنش خشکی در مرحله گیاهچه‌ای، آزمایشی با ۳۵ لاین خالص در سه شرایط رطوبتی (شاهد، تنش خشکی با پلی‌اتیلن گلیکول ۶ هزار در غلظت‌های ۱۰ و ۱۵ درصد) در قالب طرح کاملاً تصادفی با سه تکرار در دانشگاه علوم کشاورزی و منابع طبیعی گرگان انجام شد. اجرا شد. صفت طول کلثوپتیل پس از هشت روز اندازه‌گیری شد. بر اساس مقادیر طول کلثوپتیل در شرایط شاهد (Yp) و شرایط تنش (Ys) شاخص‌های RSI، TOL، YI، SSI، STI، HM، GMP، MP و YSI مناسبه شدند. ضرایب همبستگی شاخص‌های تحمل به خشکی نشان داد که شاخص‌های STI، HM و GMP مناسب‌ترین شاخص‌ها برای انتخاب ژنوتیپ‌های متتحمل به تنش خشکی بودند. نتایج تجزیه به مؤلفه‌های اصلی نشان داد که دو مؤلفه اول در مجموع ۹۹/۷۸ درصد تغییرات را در شرایط تنش خشکی ۱۰ درصد ۹۹/۸۰ درصد را در شرایط تنش خشکی ۱۵ درصد توجیه کردند. بر اساس شاخص‌ها و نمودار سه‌بعدی، ژنوتیپ‌های شماره ۳، ۱۱، ۶ و ۲۴ (به ترتیب بومی کشورهای ترکیه، افغانستان، ایران و افغانستان) به عنوان ژنوتیپ‌های متتحمل به تنش خشکی در مرحله گیاهچه‌ای شناسایی شدند در حالی که ژنوتیپ‌های شماره ۱۴، ۱۵، ۲۱، ۳۰ و ۳۵ به عنوان حساس‌ترین ژنوتیپ‌ها معروفی شدند. نمودار چند متغیره بای پلات نیز نشان داد که ژنوتیپ‌های متتحمل به خشکی در مجاورت بردارهای مربوط به بهترین شاخص‌های تحمل به خشکی قرار داشتند. از ژنوتیپ‌های بومی شناسایی شده در این پژوهش می‌توان در برنامه‌های اصلاحی گندم نان تحت شرایط تنش خشکی در مرحله گیاهچه‌ای بهره برد.

واژه‌های کلیدی: پلی‌اتیلن گلیکول، بای پلات، کلثوپتیل، گندم نان، ژنوتیپ‌های بومی

مقدمه

باتحمل به تنش همبستگی دارد انجام می‌شود که این کار با استفاده از بررسی تنوع ژنتیکی و همچنین شناسایی QTL‌های کنترل‌کننده تحمل به خشکی صورت می‌گیرد (Hang et al., 2002). مطالعه و ارزیابی صفات مرتبط با تنش خشکی در گندم یکی راهکارهای مقابله با کاهش تولید در شرایط تنش است؛ چراکه می‌توان با بررسی این صفات که

گندم نان مهم‌ترین محصول راهبردی و تأمین‌کننده غذایی اصلی کشور است و نقش مهمی در امنیت غذایی ایفا می‌کند، اما متأسفانه میزان تولید آن، به شدت تحت تأثیر عوامل محیطی بهویژه تنش خشکی قرار می‌گیرد. راهکار اصلاحی در برای تنش خشکی انتخاب ژنوتیپ‌های متتحمل به تنش است که به دو روش سنجش عملکرد و صفات مورفولوژیک

شناسایی ارقام تحت تنش کمبود آب در برنامه‌های اصلاحی معرفی کرده‌اند (Taghian and Abo-Elwafa, 2003). Shirazi و همکاران (Shirazi et al., 2016) با استفاده از داده‌های حاصل از اندازه‌گیری صفات (به خصوص وزن خشک ریشه‌چه و ساقه‌چه) در شرایط نرمال و تنش خشکی ناشی از استفاده از پلی‌اتیلن گلیکول ۶ هزار، شاخص‌های مختلف تحمل به خشکی را محاسبه و بر این اساس ژنتوتیپ‌های مقاوم و حساس را در مرحله گیاهچه‌ای معرفی نمودند و همچنین همبستگی مثبت و بسیار معنی‌داری بین شاخص‌های MP, GMP, HM و STI مشاهده کردند.

ظهور گیاهچه با طول کلئوپتیل همبستگی نزدیکی دارد. طول کلئوپتیل گندم مهم‌ترین صفت مورفولوژیک در تعیین عمق کاشت، قدرت سیز کردن و استقرار گیاهچه‌ها است و به عنوان معیاری مؤثر برای انتخاب ژنتوتیپ‌های متتحمل به تنش کم‌آبی در برنامه‌های اصلاحی استفاده شده است (Reynolds et al., 2006). بر اساس گزارش درویش نیا و همکاران (Darvishnia et al., 2020) ضریب همبستگی طول کلئوپتیل با برخی صفات کمی در شرایط تنش نسبت به شرایط عدم تنش کم‌آبی از نظر اندازه و جهت تغییر نمود که ناشی از نقش مؤثر طول کلئوپتیل در موازنۀ گیاه و شرایط رطوبتی است.

در ایران در سالیان اخیر بیشتر مطالعات و فعالیت‌های بهزادی و بهزارعی روی تنش خشکی در انتهای فصل رشد متمرکز بوده است اما بسیاری از مناطق گندم‌کاری کشور (حتی در مناطق پرباران که از ارقام آبی استفاده می‌شود) با توجه به تغییر اقلیم و کمبود بارندگی سالیان اخیر در پاییز نسبت به میانگین بلندمدت ضروری است که تنش خشکی در ابتدای فصل و در مرحله گیاهچه‌ای موردمطالعه قرار گیرد چراکه اگر مرحله سیز خوبی نداشته باشیم تمامی فعالیت‌های بهزارعی و بهزادی بعدی تحت تأثیر قرار می‌گیرند. از این‌رو هدف از پژوهش حاضر، ارزیابی برخی ژنتوتیپ‌های بومی گندم نان از نظر طول کلئوپتیل تحت تنش خشکی در مرحله گیاهچه‌ای بود.

با پایداری عملکرد در شرایط تنش مرتبط هستند، صفات مناسب را انتخاب و از طریق آن‌ها اقدام به گزینش ژنتوتیپ‌ها و درنهایت توسعه ژنتوتیپ‌های با عملکرد بالا تحت شرایط تنش خشکی نمود (Amiri et al., 2013). امروزه اهمیت واریته‌های بومی به‌واسطه دارا بودن ژن‌ها و صفات مفید بر متخصصان آشکار است، چراکه به اعتقاد چکارلی و همکاران (Ceccarelli et al., 1998) استفاده از ژرم‌پلاسم محلی و سازگار با هر منطقه و درنهایت گزینش در محیط‌های مورد هدف، یکی از مؤثرترین روش بهبود تولید گیاهان زراعی است؛ بنابراین از ظرفیت ژرم‌پلاسم بومی به عنوان منبع ژن‌های متتحمل به خشکی می‌توان بهره جست (Haddadin, 2015).

در سال‌های اخیر مطالعات زیادی در خصوص به دست آوردن ژنتوتیپ‌های سازگار گندم در شرایط کم‌آبی از طریق واریته‌های بومی و خویشاوندان وحشی به عنوان منابع اصلی تحمل به خشکی انجام شده است (Mohammadi., 2008; Farshadfar and Amiri, 2017).

شاخص‌های متفاوتی برای ارزیابی واکنش ژنتوتیپ‌ها در شرایط محیطی مختلف و تعیین تحمل و حساسیت آن‌ها ارائه شده است (Srivastava et al., 1987). محققان بسیاری شاخص‌های بهره‌وری متوسط^۱ (MP)، بهره‌وری متوسط هندسی^۲ (GMP) و تحمل به تنش^۳ (STI) را مؤثرترین شاخص‌ها جهت شناسایی ژنتوتیپ‌های متتحمل به خشکی معرفی کرده‌اند (Murri et al., 2013; Shafazadeh et al., 2006; Golbadi et al., 2004; Saba et al., 2001; Farayedy, 2004; Kargar et al., 2004; Sundari et al., 2005). میانگین هارمونیک^۴ (HM) نیز از شاخص‌هایی است که در ارزیابی تحمل به تنش مورداستفاده قرار می‌گیرد (Farshadfar., 2000). GMP و STI در بسیاری از پژوهش‌ها مناسب‌ترین شاخص‌ها برای گزینش ژنتوتیپ‌های موردمطالعه شناسایی شدند (Farayedy, 2004; Kargar et al., 2004; Sundari et al., 2005). علاوه بر GMP و STI، شاخص MP را نیز شاخص بهتر برای تعیین تحمل به تنش ارقام Yp معرفی کردند. همچنین همبستگی مثبت و معنی‌دار (عملکرد در شرایط شاهد) و Ys (عملکرد در شرایط تنش) با STI و GMP و MP را در گندم گزارش شده و شاخص‌های STI و GMP و MP را مناسب‌ترین شاخص‌ها برای ارزیابی و

³ Stress Tolerance Index

⁴ Harmonic Mean

¹ Mean Productivity

² Geometric Mean Productivity

لاین‌های خالص حاصل از توده‌های محلی و ارقام اصلاح شده گندم نان برای تحمل به تنش خشکی در مرحله گیاهچه‌ای بررسی شدند (جدول ۱).

مواد و روش‌ها
این آزمایش در سال ۱۳۹۷ در دانشگاه علوم کشاورزی و منابع طبیعی گرگان انجام شد. در این مطالعه ۳۵ ژنوتیپ شامل

جدول ۱. منشأ و مشخصات ژنوتیپ‌های گندم نان مورد مطالعه

Table 1. Origin and specifications of the bread wheat genotypes

| شماره NO. | نام Name | منشأ | Origin | شماره NO. | نام Name | منشأ | Origin |
|--------------|-------------|-----------|-------------|--------------|-------------|-------------|-----------------|
| 1 | ATRI 527 | هند | India | 19 | HTRI 5896 | ایران | Iran |
| 2 | ATRI 571 | افغانستان | Afghanistan | 20 | HTRI 6640 | ایران | Iran |
| 3 | ATRI 1495 | ترکیه | Turkey | 21 | ATRI 9687 | مکزیک | Mexico |
| 4 | ATRI 2441 | نپال | Nepal | 22 | ATRI 12922 | چین | China |
| 5 | ATRI 2603 | افغانستان | Afghanistan | 23 | 01C0204938 | جمهوری چک | Czechia |
| 6 | ATRI 2675 | افغانستان | Afghanistan | 24 | ICBW 85545 | افغانستان | Afghanistan |
| 7 | ATRI 2781 | افغانستان | Afghanistan | 25 | ICBW 43075 | ترکیه | Turkey |
| 8 | ATRI 2818 | افغانستان | Afghanistan | 26 | ICBW 42741 | ترکیه | Turkey |
| 9 | ATRI 2899 | افغانستان | Afghanistan | 27 | ICBW 42689 | سوریه | Syria |
| 10 | ATRI 2956 | افغانستان | Afghanistan | 28 | ICBW 141350 | آذربایجان | Azerbaijan |
| 11 | ATRI 5721 | ایران | Iran | 29 | ICBW 138380 | آذربایجان | Azerbaijan |
| 12 | ATRI 5887 | ایران | Iran | 30 | Atrak | ایران-تجاری | Iran-Commercial |
| 13 | ATRI 5895 | ایران | Iran | 31 | SARC 1 | نامشخص | unknown |
| 14 | ATRI 6112 | ایران | Iran | 32 | SARC 4R | نامشخص | unknown |
| 15 | ATRI 16073 | عراق | Iraq | 33 | SARC 4W | نامشخص | unknown |
| 16 | ATRI 16076 | عراق | Iraq | 34 | Ehsan | ایران-تجاری | Iran-Commercial |
| 17 | ATRI 16079 | عراق | Iraq | 35 | Kalateh | ایران-تجاری | Iran-Commercial |
| 18 | ATRI 19231 | هند | India | | | | |

اسمزی ۲/۹۵-بار) و برای شاهد آب مقطر اتوکلاو شده به میزان پنج میلی‌لیتر به پتری‌های موردنظر اضافه شد. پس از آن لیوان‌های یک‌بار مصرف متوسط را که قبلًا با اشعه UV استریل شده بودند، روی هر پتری قرار داده شدند بهنحوی که سر لیوان‌ها به داخل پتری‌ها فرورفت و کاملاً محکم شود. پتری‌های حاوی بذر به انکوباتور انتقال داده شدند و دمای آن روی ۲۵ درجه سانتی‌گراد تنظیم گردید. این پتری‌ها به مدت هشت روز درون انکوباتور قرار داده شدند. مراقبت روزانه از پتری‌ها صورت گرفت. طول کلئوپتیل ۱۰ گیاهچه برتر هر واحد آزمایشی بر حسب سانتی‌متر اندازه‌گیری شد (Darvishnia et al., 2020).

نه شاخص برای صفات اندازه‌گیری شده برای تنش خشکی محاسبه شد که با استفاده از Y_p (طول کلئوپتیل در

این آزمایش با استفاده از پلی‌اتیلن گلیکول (PEG 6000) حاوی فشار اسمزی ۱/۴۸-بار (۱۰ درصد) و ۲/۹۵-بار (۱۵ درصد) و تیمار شاهد در قالب طرح کاملاً تصادفی در سه تکرار در انجام گردید (Michel and Kaufmann, 1973). به‌منظور اعمال تنش خشکی ابتدا آب مقطر اتوکلاو شده، کاغذهای صافی و تمام وسائل موردنیاز برای انجام کار، زیر اشعه UV قرار داده شدند تا کاملاً استریل شوند. از هر ژنوتیپ ۶۰ بذر سالم و هماندازه انتخاب و با آب مقطر شستشو داده شدند؛ به‌منظور ضدعفونی نمودن، بذرها به مدت پنج دقیقه در هیپوکلرید سدیم یک درصد غوطه‌ور و پس از آن با آب مقطر آبشویی شدند. به‌منظور اعمال تنش از محلول پلی‌اتیلن گلیکول ۶۰۰۰ (PEG 6000) در دو غلظت ۱۰ درصد (با فشار اسمزی ۱/۴۸-بار) و ۱۵ درصد (با فشار

شاخص‌ها، همبستگی آن‌ها، تجزیه به مؤلفه‌های اصلی، رسم نمودارهای سه‌بعدی و بای‌پلات با استفاده از توابع مربوطه در نرم‌افزار آنالیز محاسبه شاخص‌های مربوط به تنش‌های Pour-) غیرزیستی (iPASTIC انجام شد.(Aboughadareh et al., 2019

شرایط شاهد) و Y_S (طول کلوبیتیل در شرایط تنش) به دست آمد (جدول ۲). این شاخص‌های شامل شاخص تحمل، بهره‌وری متوسط، بهره‌وری متوسط هندسی، میانگین هارمونیک، تحمل به تنش، حساسیت به تنش، شاخص عملکرد، شاخص ثبات عملکرد، شاخص تنش نسبی بودند که منابع هریک از آن‌ها در جدول ۲ ارائه شده است. محاسبه

جدول ۲. فرمول محاسبه شاخص‌های مورد مطالعه

Table 2. Formula calculation of the studied indicators

| منبع | Reference | فرمول | Formula | Index | شخص |
|-------------------------------|-----------------------------|---|---------|-------|---------------------|
| Rosielle and Hamblin (1981) | TOL | $TOL = Y_P - Y_S$ | | | شاخص تحمل |
| Rosielle and Hamblin (1981) | MP | $MP = \frac{Y_P + Y_S}{2}$ | | | بهرهوری متوسط |
| Fernandez (1992) | GMP | $GMP = \sqrt{Y_S * Y_S}$ | | | بهرهوری متوسط هندسی |
| Bidinger et al (1987) | HM | $HM = \frac{2(Y_P * Y_S)}{(Y_S + Y_P)}$ | | | میانگین هارمونیک |
| Fernandez (1992) | STI | $STI = \frac{Y_S * Y_P}{(\bar{Y}_P)^2}$ | | | تحمل به تنش |
| Fischer and Maurer (1978) | SSI | $SSI = \frac{1 - (\frac{Y_S}{\bar{Y}_P})}{1 - (\frac{\bar{Y}_S}{\bar{Y}_P})}$ | | | حساسیت به تنش |
| Gavuzzi et al. (1997) | YI | $YI = \frac{Y_S}{\bar{Y}_S}$ | | | شاخص عملکرد |
| Bouslama and Schapaugh (1984) | Yield Stability Index (YSI) | $YSI = \frac{Y_S}{Y_P}$ | | | شاخص ثبات عملکرد |
| Fischer and Wood (1979) | Relative Stress Index (RSI) | $RSI = \frac{(\frac{Y_S}{\bar{Y}_P})}{(\frac{\bar{Y}_S}{\bar{Y}_P})}$ | | | شاخص تنش نسبی |

نتائج و بحث

بررسی شاخص‌های تحمل به تنش

در دو شرایط شاهد و تنش خشکی ۱۰ درصد، بیشترین طول کلئوپتیل مربوط به ژنوتیپ‌های ۱۱ و ۲ بود. همچنین تحت تنش خشکی ۱۵ درصد، ژنوتیپ‌های ۳ و ۶ بیشترین طول کلئوپتیل را داشتند. از طرف مقابل تحت شرایط شاهد و تنش خشکی ۱۵ درصد، ژنوتیپ‌های ۳۰ و ۳۵ کمترین طول کلئوپتیل را داشتند در حالی که تحت تنش خشکی ۱۰ درصد، کمترین طول کلئوپتیل مربوط به ژنوتیپ‌های ۱۵ و ۲۱ بود (جدوا، ۳).

در بررسی شاخص‌های تحمل به تنش، کمترین مقادیر در شاخص‌های SSI، TOL و RSI مربوط به متتحمل‌ترین آنوتیپ‌ها است در حالی که در شاخص‌های MP، GMP،

YI و STI .HM مقدادیر بالا به عنوان ژنوتیپ‌های برتر از نظر تنش خشکی در نظر گرفته می‌شوند (Pour-Aboughadareh et al., 2019). بر همین اساس نتایج شاخص‌های تحمل به تنش در صفت طول کلئوپتیل نشان داد که تحت شرایط تنش خشکی ۱۰ درصد، بر اساس شاخص‌های SSI، TOL و RSI ژنوتیپ‌های ۲۵ و ۲۹ متحمل‌ترین ژنوتیپ‌ها و ژنوتیپ‌های ۷ و ۲۲ حساس‌ترین ژنوتیپ‌ها به تنش خشکی بودند. ارقامی که مقدادیر شاخص‌های TOL و SSI کمتری دارند، تفاوت عملکرد آن‌ها در شرایط تنش و شاهد کمتر است و این موضوع بیشتر ارزش فیزیولوژیکی دارد؛ به عبارت دیگر ارقامی با عملکرد کم در هر دو شرایط زراعی مطلوب نیستند (Naghavi et al., 2016). بر اساس شاخص‌های MP، GMP و STI .HM ژنوتیپ‌های ۱۱ و ۲ به عنوان ژنوتیپ‌های متحمل و

جادashde az klenotip til gndm bemanzor berrsi نقش آن در رشد و توسعه گیاه، به تنباکو منتقل شده است و افزایش رشد گیاهی درنتیجه تقسیم سلولی و بزرگ شدن سلول، همراه با افزایش غشای پلاسمایی و دیواره مشاهده شده است (Xing et al., 2009).

خاک‌های سخت و فشرده باعث کندی رشد کلنوتیپ شده و گاهی از جوانه‌زنی نیز جلوگیری به عمل می‌آورند از طرف دیگر مرحله گیاهچه‌ای از مراحل حساس به تنش خشکی است (Whan, 1995); بنابراین داشتن کلنوتیپ طویل وضعیت استقرار گیاهچه را تحت تنش خشکی یا وجود لایه فشرده در سطح خاک بهبود می‌بخشد. در استان گلستان، وجود خاک‌های سخت و فشرده به دلیل تنابوب برنج-گندم و تنش خشکی در ابتدای فصل به دلیل کاهش بارندگی در فصل کاشت گندم (آبان و آذر) از عوامل محدودکننده سبز شدن طبیعی گندم بوده‌اند؛ بنابراین از امکان استفاده از ژنوتیپ‌های متحمل معرفی شده در این پژوهش می‌توان در برنامه‌های اصلاحی وجود دارد. رانا و همکاران (Rana et al., 2017) در بررسی پاسخ ۲۰ ژنوتیپ گندم تحت تنش کم‌آبی با استفاده از پلی اتیلن‌گلیکول سه سطح پتانسیل آب شامل کنترل، منفی دو بار و منفی چهار بار در مراحل جوانه‌زنی و رشد گیاهچه به این نتیجه رسیدند که با افزایش تنش آب، طول کلنوتیپ، طول ریشه‌چه و وزن خشک گیاهچه ۱۰ روزه کاهش یافت. کمبود آب موجب کاهش تورژسانس سلولی می‌شود و درنهایت کاهش رشد و توسعه سلول بهخصوص در ساقه و برگ‌ها را به دنبال خواهد داشت. با کاهش رشد سلول اندازه اندام محدود می‌شود به همین دلیل، اولین اثر محسوس کم‌آبی بر گیاه را می‌توان از روی کاهش اندام هوایی تشخیص داد (Salarpour Gharba and Farahbakhsh, 2015).

ضرایب همبستگی شاخص‌های تحمل به تنش خشکی تحت هر سه شرایط رطوبتی طول کلنوتیپ، بیشترین ضرایب همبستگی مثبت و معنی‌دار را در سطح احتمال یک درصد با شاخص‌های STI, MP, GMP, HM و STI داشت. همچنین بین شاخص‌های GMP, MP, HM و STI همبستگی مثبت و معنی‌دار مشاهده شد (شکل ۱). همبستگی معنی‌دار بین این شاخص‌ها نشان می‌دهد که آن‌ها می‌توانند به عنوان مبنایی برای انتخاب ژنوتیپ‌های متحمل مورداستفاده قرار گیرند و برای انتخاب ژنوتیپ‌های متحمل به خشکی مناسب هستند (Zebanjadi et al., 2016).

ژنوتیپ‌های ۲۱، ۳۰ به عنوان ژنوتیپ‌های حساس تحت تنش خشکی ۱۰ درصد شناخته شدند (جدول ۳). در شرایط تنش خشکی ۱۵ درصد، شاخص‌های TOL, SSI و RSI ژنوتیپ‌های ۲۱ و ۳۴ را به عنوان متحمل ترین ژنوتیپ‌ها و ژنوتیپ‌های ۲ و ۵ را به عنوان حساس‌ترین ژنوتیپ‌ها معرفی کردند. همچنین بر اساس شاخص‌های MP, GMP, HM, STI و YI ژنوتیپ‌های ۶، ۱۱ و ۳ ژنوتیپ‌های متحمل به خشکی و ژنوتیپ‌های ۳۰ و ۳۵ ژنوتیپ‌های حساس به خشکی شناخته شدند (جدول ۴). به طور کلی برای صفت طول کلنوتیپ ژنوتیپ‌های ۲، ۱۱، ۳ و ۶ به عنوان ژنوتیپ‌های متتحمل به تنش خشکی شناخته شدند (جدول‌های ۳ و ۴) که ژنوتیپ‌های ۲ و ۶ بومی افغانستان، ژنوتیپ ۳ بومی ترکیه و ژنوتیپ ۱۱ بومی ایران بودند (جدول ۱).

طول کلنوتیپ مهم‌ترین صفت مورفولوژیک در تعیین عمق کاشت و افزایش قدرت سبز شدن گندم است. طول کلنوتیپ محدودکننده عمق کاشت بذر گندم است و طول آن تحت تأثیر ژنوتیپ گیاه است (Mohan et al., 2013). ارقامی که کلنوتیپ بلندتری دارند پتانسیل کاشت عمیق‌تری در خاک دارند و با بهره‌گیری از رطوبت اعمق خاک، در شرایط تنش خشکی موفق‌تر هستند. حداکثر عمق کاشت گندم به توانایی کلنوتیپ در طول شدن و مقاومت مکانیکی خاک بستگی دارد (Narayanan et al., 2014). زمانی عمق کاشت از طول کلنوتیپ هر واریته تجاوز نماید، سبز شدن آن به طور مشهودی کاهش می‌یابد (Whan, 1995).

Rht-D1b و Rht-B1b کلنوتیپ کوتاه به حضور دو ژن Rht-D1b و Rht-B1b وابسته است (Matsui et al., 2002). هر دو ژن با ترشح جیبرلین، باعث کاهش رشد و اندازه سلول در بافت‌های رویشی حساس می‌شوند. این دو ژن در اغلب گندم‌های پاکوتاه باعث کاهش طول کلنوتیپ می‌شوند. این ژن‌ها ارتفاع بوته را، بدون تأثیر بر روی طول کلنوتیپ در کشت‌های عمیق کاهش می‌دهند (Rebetzke et al., 2014). ژن‌های پاکوتاهی حساس به جیبرلین Rht12, Rht9, Rht8, Rht4 و Rht13 در حالی که تأثیر بسیار ناچیزی بر روی طول کلنوتیپ دارند در حالی که تأثیر بسیار ناچیزی بر روی مطالعات ژنتیکی و زراعی نقش مؤثر ژن‌های Rht4 و Rht9 را در افزایش عملکرد گندم به وسیله افزایش طول کلنوتیپ و کاهش ارتفاع نشان داد (TaEXPB23). Rebetzke and Richards, 2000).

جدول ۳. مقادیر شاخص‌های تحمل تحت تنش خشکی ۱۰ درصد در ژنوتیپ‌های گندم برای طول کلئوبتیل

Table 3. The values of drought tolerance indices under 10%-drought stress conditions in wheat genotypes for coleoptile length

| Genotype | | | GMP | | | SSI | | STI | | YSI | |
|----------|--------|------|------|------|----------|----------|---------|--------|---------|------|------|
| | Yp | Ys | TOL | MP | بهره‌وری | HM | شاخص | شاخص | YI | شاخص | RSI |
| | ژنوتیپ | شاهد | تنش | تحمل | متوسط | بهره‌وری | میانگین | حساسیت | تحمل به | ثبات | شاخص |
| G1 | 7.22 | 5.52 | 1.70 | 6.37 | 6.31 | 6.26 | 2.12 | 0.93 | 0.95 | 0.76 | 0.86 |
| G2 | 8.22 | 7.73 | 0.49 | 7.98 | 7.97 | 7.97 | 0.54 | 1.48 | 1.33 | 0.94 | 1.06 |
| G3 | 7.61 | 6.26 | 1.35 | 6.94 | 6.90 | 6.87 | 1.59 | 1.11 | 1.08 | 0.82 | 0.93 |
| G4 | 6.59 | 6.38 | 0.21 | 6.49 | 6.48 | 6.48 | 0.29 | 0.98 | 1.10 | 0.97 | 1.09 |
| G5 | 7.95 | 6.76 | 1.19 | 7.36 | 7.33 | 7.31 | 1.35 | 1.25 | 1.16 | 0.85 | 0.96 |
| G6 | 7.67 | 7.40 | 0.27 | 7.54 | 7.53 | 7.53 | 0.32 | 1.32 | 1.27 | 0.96 | 1.09 |
| G7 | 7.96 | 5.76 | 2.20 | 6.86 | 6.77 | 6.68 | 2.48 | 1.07 | 0.99 | 0.72 | 0.81 |
| G8 | 6.71 | 6.21 | 0.50 | 6.46 | 6.46 | 6.45 | 0.67 | 0.97 | 1.07 | 0.93 | 1.04 |
| G9 | 6.75 | 6.12 | 0.63 | 6.44 | 6.43 | 6.42 | 0.84 | 0.96 | 1.05 | 0.91 | 1.02 |
| G10 | 6.99 | 6.63 | 0.36 | 6.81 | 6.81 | 6.81 | 0.46 | 1.08 | 1.14 | 0.95 | 1.07 |
| G11 | 9.05 | 8.85 | 0.20 | 8.95 | 8.95 | 8.95 | 0.20 | 1.87 | 1.52 | 0.98 | 1.10 |
| G12 | 6.32 | 6.00 | 0.32 | 6.16 | 6.16 | 6.16 | 0.46 | 0.88 | 1.03 | 0.95 | 1.07 |
| G13 | 6.90 | 6.00 | 0.90 | 6.45 | 6.43 | 6.42 | 1.17 | 0.97 | 1.03 | 0.87 | 0.98 |
| G14 | 4.83 | 4.58 | 0.25 | 4.71 | 4.70 | 4.70 | 0.47 | 0.52 | 0.79 | 0.95 | 1.07 |
| G15 | 4.68 | 3.98 | 0.70 | 4.33 | 4.32 | 4.30 | 1.34 | 0.43 | 0.68 | 0.85 | 0.96 |
| G16 | 7.79 | 6.65 | 1.14 | 7.22 | 7.20 | 7.18 | 1.32 | 1.21 | 1.14 | 0.85 | 0.96 |
| G17 | 5.45 | 5.00 | 0.45 | 5.23 | 5.22 | 5.22 | 0.74 | 0.64 | 0.86 | 0.92 | 1.03 |
| G18 | 6.93 | 6.05 | 0.88 | 6.49 | 6.48 | 6.46 | 1.14 | 0.98 | 1.04 | 0.87 | 0.98 |
| G19 | 7.28 | 6.32 | 0.96 | 6.80 | 6.78 | 6.77 | 1.19 | 1.07 | 1.09 | 0.87 | 0.98 |
| G20 | 7.33 | 6.50 | 0.83 | 6.92 | 6.90 | 6.89 | 1.02 | 1.11 | 1.12 | 0.89 | 1.00 |
| G21 | 4.86 | 4.14 | 0.72 | 4.50 | 4.49 | 4.47 | 1.33 | 0.47 | 0.71 | 0.85 | 0.96 |
| G22 | 7.02 | 5.28 | 1.74 | 6.15 | 6.09 | 6.03 | 2.23 | 0.86 | 0.91 | 0.75 | 0.85 |
| G23 | 4.73 | 4.58 | 0.15 | 4.66 | 4.65 | 4.65 | 0.29 | 0.51 | 0.79 | 0.97 | 1.09 |
| G24 | 8.27 | 7.25 | 1.02 | 7.76 | 7.74 | 7.73 | 1.11 | 1.40 | 1.25 | 0.88 | 0.99 |
| G25 | 6.90 | 6.85 | 0.05 | 6.88 | 6.87 | 6.87 | 0.07 | 1.10 | 1.18 | 0.99 | 1.12 |
| G26 | 6.94 | 5.53 | 1.41 | 6.24 | 6.20 | 6.16 | 1.83 | 0.90 | 0.95 | 0.80 | 0.90 |
| G27 | 7.45 | 6.49 | 0.96 | 6.97 | 6.95 | 6.94 | 1.16 | 1.13 | 1.12 | 0.87 | 0.98 |
| G28 | 5.92 | 4.70 | 1.22 | 5.31 | 5.27 | 5.24 | 1.85 | 0.65 | 0.81 | 0.79 | 0.89 |
| G29 | 6.64 | 6.53 | 0.11 | 6.59 | 6.58 | 6.58 | 0.15 | 1.01 | 1.12 | 0.98 | 1.11 |
| G30 | 4.62 | 4.15 | 0.47 | 4.39 | 4.38 | 4.37 | 0.91 | 0.45 | 0.71 | 0.90 | 1.01 |
| G31 | 5.34 | 4.46 | 0.88 | 4.90 | 4.88 | 4.86 | 1.48 | 0.56 | 0.77 | 0.84 | 0.94 |
| G32 | 5.14 | 4.83 | 0.31 | 4.99 | 4.98 | 4.98 | 0.54 | 0.58 | 0.83 | 0.94 | 1.06 |
| G33 | 4.97 | 4.64 | 0.33 | 4.81 | 4.80 | 4.80 | 0.60 | 0.54 | 0.80 | 0.93 | 1.05 |
| G34 | 5.48 | 5.03 | 0.45 | 5.26 | 5.25 | 5.25 | 0.74 | 0.64 | 0.86 | 0.92 | 1.03 |
| G35 | 4.64 | 4.50 | 0.14 | 4.57 | 4.57 | 4.57 | 0.27 | 0.49 | 0.77 | 0.97 | 1.09 |

جدول ۴. مقادیر شاخص‌های تحمل تنش خشکی ۱۵ درصد در ژنوتیپ‌های گندم برای طول کلئوبتیل

Table 4. The values of drought tolerance indices under 15%-drought stress conditions in wheat genotypes for coleoptile length

| Genotype | Yp ژنوتیپ | Ys عملکرد شاهد | TOL عملکرد تنش | MP شاخص تحمل | GMP بهره‌وری متوسط | HM میانگین هندرسی | SSI شاخص حساسیت | STI شاخص تحمل به تنش | YSI شاخص ثبتات عملکرد | RSI شاخص تنش نسبی |
|----------|--------------|----------------------|----------------------|--------------------|--------------------------|-------------------------|-----------------------|-------------------------------|--------------------------------|-------------------------|
| G1 | 7.22 | 5.13 | 2.09 | 6.18 | 6.09 | 6.00 | 2.25 | 0.88 | 0.91 | 0.71 |
| G2 | 8.22 | 5.00 | 3.22 | 6.61 | 6.41 | 6.22 | 3.05 | 0.98 | 0.89 | 0.61 |
| G3 | 7.61 | 7.40 | 0.21 | 7.51 | 7.50 | 7.50 | 0.21 | 1.34 | 1.31 | 0.97 |
| G4 | 6.59 | 6.32 | 0.27 | 6.46 | 6.45 | 6.45 | 0.32 | 0.99 | 1.12 | 0.96 |
| G5 | 7.95 | 5.42 | 2.53 | 6.69 | 6.56 | 6.45 | 2.48 | 1.03 | 0.96 | 0.68 |
| G6 | 7.67 | 7.67 | 0.31 | 7.83 | 7.82 | 7.82 | 0.30 | 1.46 | 1.36 | 0.96 |
| G7 | 7.96 | 6.04 | 1.92 | 7.00 | 6.93 | 6.87 | 1.88 | 1.15 | 1.07 | 0.76 |
| G8 | 6.71 | 6.07 | 0.64 | 6.39 | 6.38 | 6.37 | 0.74 | 0.97 | 1.08 | 0.90 |
| G9 | 6.12 | 5.80 | 0.32 | 5.96 | 5.96 | 5.96 | 0.41 | 0.85 | 1.03 | 0.95 |
| G10 | 6.99 | 5.40 | 1.59 | 6.20 | 6.14 | 6.09 | 1.77 | 0.90 | 0.96 | 0.77 |
| G11 | 9.05 | 6.98 | 2.07 | 8.02 | 7.95 | 7.88 | 1.78 | 1.51 | 1.24 | 0.77 |
| G12 | 6.32 | 5.80 | 0.52 | 6.06 | 6.05 | 6.05 | 0.64 | 0.87 | 1.03 | 0.92 |
| G13 | 6.90 | 5.49 | 1.41 | 6.20 | 6.15 | 6.11 | 1.59 | 0.90 | 0.97 | 0.80 |
| G14 | 4.83 | 4.43 | 0.40 | 4.63 | 4.63 | 4.62 | 0.64 | 0.51 | 0.79 | 0.92 |
| G15 | 4.68 | 4.30 | 0.38 | 4.49 | 4.49 | 4.48 | 0.63 | 0.48 | 0.76 | 0.92 |
| G16 | 7.79 | 6.98 | 0.81 | 7.39 | 7.37 | 7.36 | 0.81 | 1.30 | 1.24 | 0.90 |
| G17 | 5.45 | 5.25 | 0.20 | 5.35 | 5.35 | 5.35 | 0.29 | 0.68 | 0.93 | 0.96 |
| G18 | 6.93 | 6.57 | 0.36 | 6.75 | 6.75 | 6.75 | 0.40 | 1.09 | 1.16 | 0.95 |
| G19 | 7.28 | 6.18 | 1.10 | 6.73 | 6.71 | 6.69 | 1.18 | 1.07 | 1.10 | 0.85 |
| G20 | 7.33 | 6.39 | 0.94 | 6.86 | 6.84 | 6.83 | 1.00 | 1.12 | 1.13 | 0.87 |
| G21 | 4.86 | 4.81 | 0.05 | 4.84 | 4.83 | 4.83 | 0.08 | 0.56 | 0.85 | 0.99 |
| G22 | 7.02 | 6.47 | 0.55 | 6.75 | 6.74 | 6.73 | 0.61 | 1.08 | 1.15 | 0.92 |
| G23 | 4.73 | 4.56 | 0.17 | 4.65 | 4.64 | 4.64 | 0.28 | 0.51 | 0.81 | 0.96 |
| G24 | 8.27 | 7.34 | 0.93 | 7.81 | 7.79 | 7.78 | 0.88 | 1.45 | 1.30 | 0.89 |
| G25 | 6.90 | 5.70 | 1.20 | 6.30 | 6.27 | 6.24 | 1.35 | 0.94 | 1.01 | 0.83 |
| G26 | 5.53 | 5.13 | 0.40 | 5.33 | 5.33 | 5.32 | 0.56 | 0.68 | 0.91 | 0.93 |
| G27 | 6.49 | 5.61 | 0.88 | 6.05 | 6.03 | 6.02 | 1.06 | 0.87 | 0.99 | 0.86 |
| G28 | 5.92 | 5.30 | 0.62 | 5.61 | 5.60 | 5.59 | 0.82 | 0.75 | 0.94 | 0.90 |
| G29 | 6.64 | 5.86 | 0.78 | 6.25 | 6.24 | 6.23 | 0.91 | 0.93 | 1.04 | 0.88 |
| G30 | 4.62 | 3.93 | 0.69 | 4.28 | 4.26 | 4.25 | 1.16 | 0.43 | 0.70 | 0.85 |
| G31 | 5.34 | 4.75 | 0.59 | 5.05 | 5.04 | 5.03 | 0.86 | 0.61 | 0.84 | 0.89 |
| G32 | 5.14 | 4.98 | 0.16 | 5.06 | 5.06 | 5.06 | 0.24 | 0.61 | 0.88 | 0.97 |
| G33 | 4.97 | 4.82 | 0.15 | 4.90 | 4.89 | 4.89 | 0.23 | 0.57 | 0.85 | 0.97 |
| G34 | 5.62 | 5.48 | 0.14 | 5.55 | 5.55 | 5.55 | 0.19 | 0.73 | 0.97 | 0.98 |
| G35 | 4.64 | 4.13 | 0.51 | 4.39 | 4.38 | 4.37 | 0.86 | 0.46 | 0.73 | 0.89 |

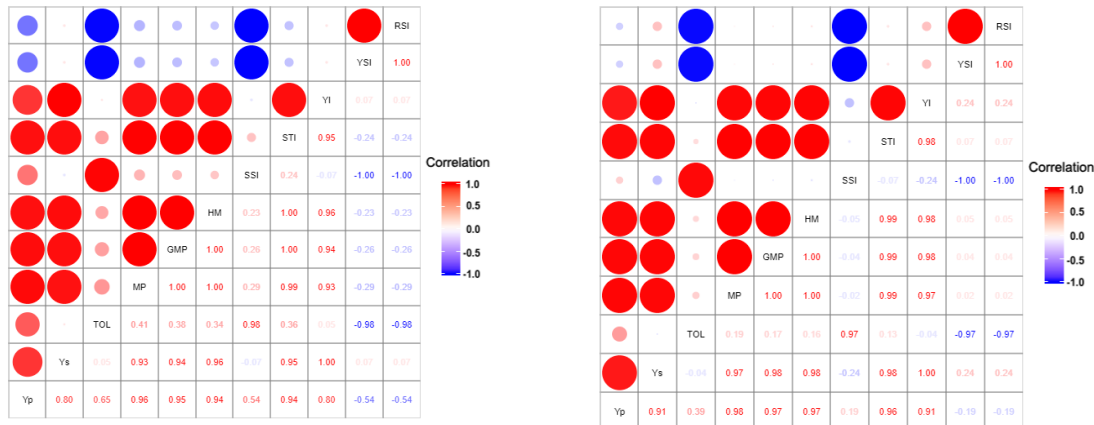
Basafa and Taherian, 2010; Naghavi et al., 2016). در تنش خشکی ۱۰ درصد ژنوتیپ‌های ۲، ۳، ۶، ۱۱، ۱۶، ۲۰، ۲۴ و ۲۷ در قسمت A و ژنوتیپ‌های ۱۴، ۱۵، ۱۶، ۲۱، ۲۲، ۲۸، ۳۰، ۳۱، ۳۰، ۳۲، ۳۳، ۳۴، ۳۵ و ۳۵ در قسمت D قرار داشتند (شکل ۲). همچنین در تنش خشکی ۱۵ درصد، ژنوتیپ‌های ۳، ۶، ۷، ۱۱، ۱۶، ۱۹، ۲۰، ۲۲، ۲۴ و ۲۶ در قسمت A و ژنوتیپ‌های ۱۴، ۱۵، ۱۷، ۲۱، ۲۲، ۲۶، ۳۰، ۳۱، ۳۰، ۳۲، ۳۳ و ۳۵ در قسمت D قرار گرفتند (شکل ۳)؛ بنابراین ژنوتیپ‌های ۳، ۶، ۱۱، ۱۶، ۱۹، ۲۰ و ۲۴ در هر دو سطح

نمودار سه‌بعدی براساس شاخص‌های HM, GMP, MP و STI

با استفاده از نمودار سه‌بعدی ژنوتیپ‌ها به چهار گروه A، B، C و D تقسیم شدند، مناسب‌ترین شاخص آن است که بتواند گروه A را از سایر گروه‌ها تشخیص دهد (Fernandez, 1992). گروه A ژنوتیپ‌هایی را گزینش می‌کند که در هر دو محیط شاهد و تنش دارای عملکرد بالا، گروه B دارای عملکرد بالا فقط در شرایط شاهد، گروه C دارای عملکرد بالا فقط در شرایط تنش و گروه D دارای عملکرد پایین در هر دو شرایط

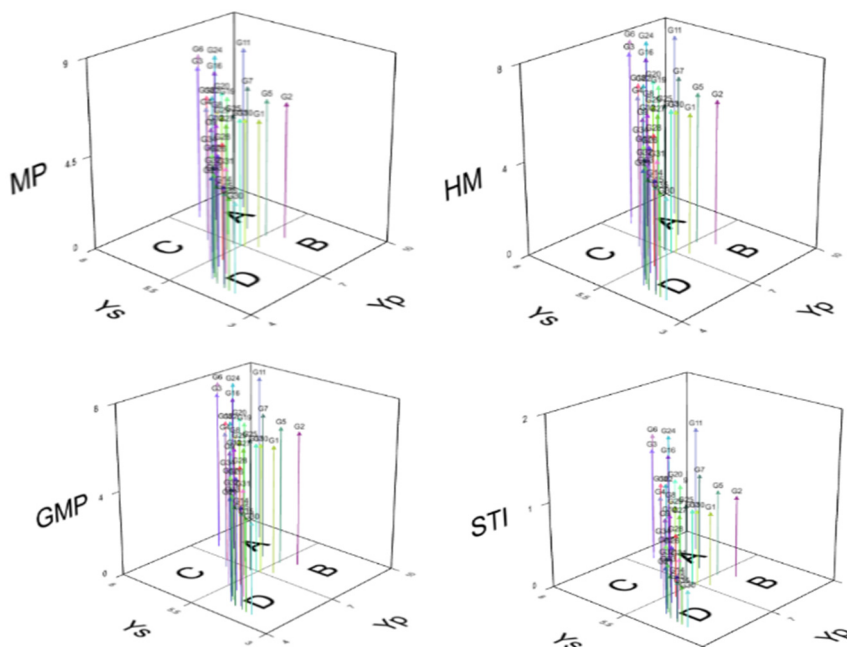
تحمل به خشکی انتهای فصل یکی از اهداف مهم اصلاحی در برنامه‌های اصلاحی گندم نان در کشور است.

تنش خشکی در گروه A قرار گرفتند (شکل‌های ۲ و ۳). نکته قابل توجه حضور ژنتیک‌های ۳۰، ۳۴ و ۳۵ که در گروه D بود که از ارقام تجاری کشور هستند؛ این امر نشان‌دهنده عدم توجه کافی به تنش خشکی ابتدایی فصل بوده است در حالی که



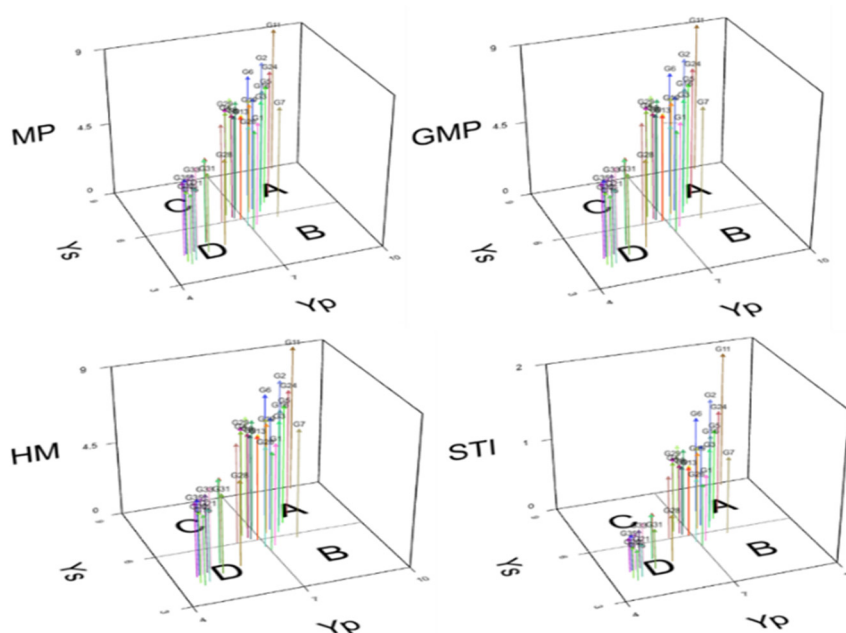
شکل ۱. ضرایب همبستگی بین شاخص‌های تحمل به تنش در صفت طول کلئوپتیل تحت تنش خشکی ۱۰ درصد (راست) و ۱۵ درصد (چپ)

Fig. 1. Correlation coefficients between drought tolerance indices for coleoptile length under 10%- (right) and 15%- (left) drought stress



شکل ۲. نمودار سه‌بعدی صفت طول کلئوپتیل در شرایط تنش خشکی ۱۰ درصد با شاخص‌های STI، HM، GMP و MP

Fig. 2. Three-dimensional plot of coleoptile length traits under 10%-drought stress conditions with STI, HM, GMP and MP indices



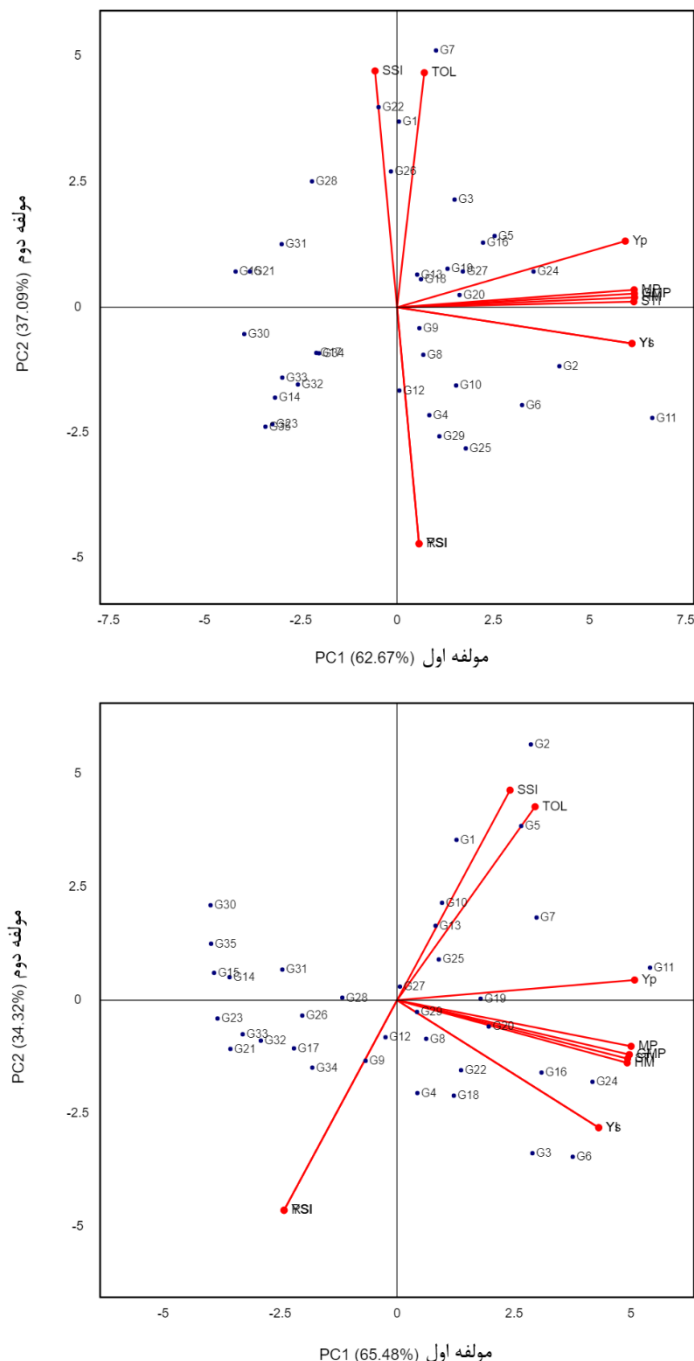
شکل ۳. نمودار سه بعدی صفت طول کلئوپتیل در شرایط تنش خشکی ۱۵ درصد با شاخص‌های STI، HM، GMP و MP

Fig. 3. Three-dimensional plot of coleoptile length traits under 15%-drought stress conditions with STI, HM, GMP and MP indices

همبستگی مثبت و بالایی داشته و از آنجایی که مقادیر پایین این شاخص‌ها موردنظر است لذا این مؤلفه، بر حساسیت به تنش تأکید داشته و هر چه مقدار این مؤلفه بیشتر شود ژنوتیپ‌های با حساسیت بالا به تنش انتخاب خواهند شد (Zebarjadi et al., 2016). توزیع ژنوتیپ‌ها روی بای‌پلات‌ها نشان‌دهنده وجود تنوع در پاسخ به تنش خشکی در مرحله گیاهچه‌ای بین لاین‌ها بود (شکل ۴). شاخص‌های MP, GMP, HM و STI دارای زوایای تند نسبت به هم در شکل بای‌پلات بودند که این نشان‌دهنده همبستگی بالای این شاخص‌ها با یکدیگر بود (Zebarjadi et al., 2016). ژنوتیپ‌هایی که بر اساس نمودار سه‌بعدی و مقادیر شاخص‌ها به عنوان ژنوتیپ‌های متحمل شناخته شدند در مجاورت شاخص‌های MP, GMP, HM و STI قرار داشتند (شکل ۴). با توجه به زوایای خطوط شاخص‌ها در نمایش گرافیکی بای‌پلات در هر دو سطح تنش مشخص شد که همبستگی مثبت و معنی‌داری بین طول کلئوپتیل در شرایط شاهد (Yp) و تنش (Ys) با MP, GMP, STI و HM وجود داشت که نشان‌دهنده کارایی بالای شاخص‌های مذکور در دو شرایط شاهد و تنش خشکی است. همچنین در هر دو شرایط تنش ۱۰ و ۱۵ درصد، همبستگی منفی بین شاخص‌های SSI و TOL با شاخص‌های RSI و YSI مشاهده شد (شکل ۴).

تجزیه به مؤلفه‌های اصلی بر اساس مقادیر شاخص‌های تحمل به تنش

تحت تنش خشکی ۱۰ درصد، سهم مؤلفه اول و دوم در تبیین تغییرات کل شاخص‌ها به ترتیب برابر با ۶۲/۶۷ و ۳۷/۰۹ درصد بود. از آنجاکه مؤلفه اول تغییراتی را در برمی‌گیرد که توسط مؤلفه دوم تبیین نمی‌شود و بالعکس، می‌توان تغییرات دو مؤلفه را به صورت عمود بر هم نمایش داد، به‌گونه‌ای که ژنوتیپ‌ها بر اساس این دو مؤلفه در سطح نمودار با نقاطی مشخص گردند و در مجموع ۹۹/۷۸ درصد تغییرات توسط دو مؤلفه اول و دوم توجیه شدند (شکل ۴). تحت تنش خشکی ۱۵ سهم مؤلفه اول و دوم در تبیین تغییرات کل شاخص‌ها به ترتیب برابر با ۶۵/۴۸ و ۳۴/۳۲ درصد بود و در مجموع ۹۹/۸۰ درصد تغییرات توسط دو مؤلفه اول و دوم توجیه شدند (شکل ۴). مؤلفه اصلی اول دارای همبستگی مثبت و بالا با عملکرد در شرایط بدون تنش (Yp) و شاخص‌های STI, GMP, MP و GMP, MP بوده، لذا این مؤلفه، تحمل به تنش نامیده می‌شود. از آنجایی که مقدار بالای این شاخص‌ها مطلوب است هرچقدر مؤلفه اول افزایش یابد ژنوتیپ‌هایی که دارای عملکرد بالا با تحمل بیشتر هستند انتخاب می‌شوند. مؤلفه دوم نیز با شاخص‌های SSI, TOL و عملکرد در شرایط تنش (Ys)



شکل ۴. نمودار بای پلات دو مولفه اصلی اول در شرایط تنش خشکی ۱۰ درصد (بالا) و تنش خشکی ۱۵ درصد (پایین) در صفت طول کلئوبتیل

Fig. 4. Biplot plot of the first two principal components for coleoptile length under 10%-(top) and 15%-(bottom) drought stress conditions

تجاری ایرانی بودند (جدول ۵). از طرف مقابل ژنتیک‌های شماره ۱، ۲۷ و ۱۹ کمترین عملکرد دانه را داشتند (به ترتیب ۲۳۶۴، ۲۶۷۵ و ۲۹۵۱ کیلوگرم در هکتار) که به ترتیب بومی کشورهای هند، سوریه و ایران بودند (جدول ۵). بالاتر بودن عملکرد دانه ارقام تجاری نسبت به ژنتیک‌های بومی با توجه

عملکرد دانه ژنتیک‌ها در شرایط مزرعه مقایسه میانگین عملکرد دانه ژنتیک‌ها در شرایط مطلوب رطوبتی در مزرعه نشان داد که ژنتیک‌های شماره ۳۴، ۳۵ و ۳۰ به ترتیب بیشترین عملکرد دانه را داشتند (به ترتیب ۴۹۸۸، ۵۶۶۸ و ۴۶۳۰ کیلوگرم در هکتار) که همگی جز ارقام

به تنش خشکی در مجاورت بردارهای مربوط به بهترین شاخص‌های تحمل به خشکی یعنی MP، GMP، HM و STI قرار داشتند.

جدول ۵. مقایسه میانگین عملکرد دانه ژنوتیپ‌های گندم نان
Table 5. Mean comparison of grain yield for bread wheat genotypes

| شماره No | عملکرد Yield (kg ha ⁻¹) | شماره No | عملکرد Yield (kg ha ⁻¹) |
|-------------|--|-------------|--|
| 1 | 2364 | 19 | 2951 |
| 2 | 3764 | 20 | 3617 |
| 3 | 3718 | 21 | 3500 |
| 4 | 3992 | 22 | 3102 |
| 5 | 3811 | 23 | 4136 |
| 6 | 3260 | 24 | 4370 |
| 7 | 3967 | 25 | 3064 |
| 8 | 3659 | 26 | 3969 |
| 9 | 4142 | 27 | 2675 |
| 10 | 3936 | 28 | 3939 |
| 11 | 3135 | 29 | 3832 |
| 12 | 3715 | 30 | 4630 |
| 13 | 3532 | 31 | 3804 |
| 14 | 3872 | 32 | 3114 |
| 15 | 3728 | 33 | 3931 |
| 16 | 3550 | 34 | 4988 |
| 17 | 3798 | 35 | 5668 |
| 18 | 4209 | | |

LSD 1% = 129.8; LSD 0.05% = 88.6

به تجمع آلل‌های مفید برای مقاومت به طیف وسیعی از آفات، بیماری‌ها و تنش‌های غیر زیستی مانند خشکی و گرمای انتهای فصل در ارقام تجاری قابل انتظار بود. با توجه به اینکه ارقام تجاری نسبت به برخی ژنوتیپ‌های بومی شناسایی شده در کلچوپتیل کمتری بودند از ژنوتیپ‌های بومی شناسایی شده در این پژوهش می‌توان در برنامه‌های اصلاحی گندم نان تحت شرایط تنش خشکی در مرحله گیاهچه‌ای بهره برد.

نتیجه‌گیری نهايی

به طورکلی نتایج اين پژوهش نشان داد که بر اساس اندازه‌گيری شاخص‌ها و نمودار سه‌بعدی، ژنوتیپ‌های شماره ۳، ۶، ۱۱ و ۲۴ (به ترتیب بومی کشورهای ترکیه، افغانستان، ایران و افغانستان) به عنوان ژنوتیپ‌های متحمل به تنش خشکی در مرحله گیاهچه‌ای شناسایی شدند درحالی که ژنوتیپ‌های شماره ۱۴، ۱۵، ۲۱، ۳۰ و ۳۵ به عنوان حساس‌ترین ژنوتیپ‌ها معرفی شدند. Yp و Ys بیشترین همبستگی را با شاخص MP، GMP، HM و STI نشان دادند و به عنوان شاخص‌های برتر برای اندازه‌گيری تحمل به خشکی شناخته شدند. بر اساس نمودار باي پلات ژنوتیپ‌های متحمل

منابع

- Amiri, R., Bahraminejad, S., Sasani, S., 2013. Evaluation of genetic diversity of bread wheat genotypes based on physiological traits in nonstress and terminal drought stress conditions. Cereal Research. 2, 289-305. [In Persian with English Summary].
- Basafa, M., Taherian, M., 2010. Evaluation of drought tolerance in alfalfa (*Medicago sativa*) ecotypes using drought tolerance indices. Environmental Stresses in Crop Sciences. 3, 69-81. [In Persian with English Summary].
- Bidinger, F. R., V. Mahalakshmi, G., Rao, D., 1987. Assessment of drought resistance in pearl millet (*Pennisetum americanum* L. Leeke). II. Estimation of genotype response to stress. Australian Journal of Agricultural Research. 38, 49-59.
- Bouslama, M., Schapaugh, W. T., 1984. Stress tolerance in soybean. Part 1: Evaluation of three screening techniques for heat and drought tolerance. Crop Science. 24, 933-937.
- Darvishnia, F., Pahlevani, M., Zaynali Nezhad, K., Azizi, K., 2020. Analysis of grain yield and its attributes in bread wheat and their associations with coleoptile length under water deficit conditions', Environmental Stresses in Crop Sciences, 13 41-56. [In Persian with English Summary].
- Ellis, M.H., Rebetzke, G.J., Spielmeyer, W., Richards, R.A., Bonnett, D.G. 2004. Gibberellin responsiveness and early growth of alternative dwarfing genes in wheat (*Triticum aestivum* L.). Functional Plant Biology. 31, 583-589.
- Farayedy, Y., 2004. Evaluation of drought tolerance in Kabuli chickpea genotypes. Iranian Journal of Agriculture. 6, 27-38. [In Persian].
- Farshadfar, E., Amiri, R. 2017. Assessment of drought resistance in different bread wheat lines using agro-physiological traits and integrated selection index. Environmental Stresses in Crop Science. 11, 79-91. [In Persian with English Summary].

- Fernandez, G. C. J., 1992. Effective selection criteria for assessing plant stress tolerance. In C. G. Kuo [ed.], *Adaptation of food crops to temperature and water stress*. 257-270.
- Fischer, R. A., R. Maurer., 1978. Drought resistance in spring wheat cultivars. I. Grain yield responses. *Australian Journal of Agricultural Research*. 29, 897-912.
- Fischer, R. A., T. Wood., 1979. Drought resistance in spring wheat cultivars III. Yield association with morphological traits. *Australian Journal of Agricultural Research*. 30, 1001-1020.
- Gavuzzi, P., Rizza, F., Palumbo, M. R., Campaline, G., Ricciardi, G. L., Borghi, B., 1997. Evaluation of field and laboratory predictors of drought and heat tolerance in winter cereals. *Canadian Journal of Plant Science*. 77, 523-531.
- Golabadi, M., Arzani, A., Mirmohammadi Maibody, S.M. 2006. Assessment of drought tolerance in segregation population in drum wheat. *African Journal of Agricultural Research*. 1, 162-171.
- Haddadin, M.F., 2015. Assessment of drought tolerant barley varieties under water stress. *International Journal of Agriculture and Forestry*. 5, 131-137.
- Huang, X.Q., Börner, A., Röder, M.S., Ganal, M.W., 2002. Assessing genetic diversity of wheat (*Triticum aestivum* L.) germplasm using microsatellite markers. *Theor Appl Genet*. 105, 699-707
- Kargar, S.M.A., Ghannadha, M.R., Bozorgipour, R., Atari, A.A., Babaei, H.R., 2004. Investigation of drought tolerance indices in some soybean genotypes under restricted irrigation condition. *Iranian Journal of Agricultural Science*. 35, 97-111. [In Persian].
- Matsui, T., Inanaga, S., Shimotashiro, T., An, P., Sugimoto, Y. 2002. Morphological characters related to varietal differences in tolerance to deep sowing in wheat. *Plant Production Science*. 5, 169-174.
- Michel, B.E., Kaufmann, M.R. 1973. The osmotic potential of polyethylene glycol 6000. *Plant physiology*. 51, 914-916.
- Mohammadi, M., 2008. Study of the possibility of using synthetic wheat derivatives under warm and dry conditions. *Seed and Plant Improvement Journal*. 24, 487-500. [In Persian with English summary].
- Mohan, A., Schillinger, W.F., Gill, K.S. 2013. Wheat seedling emergence from deep planting depths and its relationship with coleoptile length. *PLoS One*, 8(9).
- Murri, S., Emam, Y., Surshojani, H., 2013. Evaluation of terminal drought tolerance in wheat using yield, yield components and quantitative indices of drought tolerance. *Journal of environmental stress in Crop Science*. 5, 19-32.
- Naghavi, M.R., Moghadam, M., Toorchini, M., Shakiba, M.R. 2016. Evaluation of Spring Wheat Cultivars Based on Drought Resistance Indices. *Journal of Crop Breeding*. 8, 192-207.
- Narayanan, S., Mohan, A., Gill, K.S., Prasad, P.V., 2014. Variability of root traits in spring wheat germplasm. *PLoS One*, 9(6).
- Pour-Aboughadareh, A., Yousefian, M., Moradkhani, H., Moghaddam Vahed, M., Poczai, P., Siddique, K.H., 2019. IPASTIC: An online toolkit to estimate plant abiotic stress indices. *Applications in plant sciences*. 7, p.e11278.
- Rana, M.S., Hasan, M.A., Bahadur, M.M., Islam, M.R., 2017. Effect of poly ethylene glycol induced water stress on germination and seedling growth of wheat (*Triticum aestivum*). *The Agriculturists*. 15, 81-91.
- Rebetzke, G.J., Richards, R.A. 2000. Gibberellic acid-sensitive dwarfing genes reduce plant height to increase kernel number and grain yield of wheat. *Australian Journal of Agricultural Research*. 51, 235-245.
- Rebetzke, G.J., Verbyla, A.P., Verbyla, K.L., Morell, M.K., Cavanagh, C.R. 2014. Use of a large multiparent wheat mapping population in genomic dissection of coleoptile and seedling growth. *Plant Biotechnology Journal*. 12, 219-230.
- Reynolds, M.P., Mujeeb-Kazi, A., Sawkins, M. 2005. Prospects for utilising plant-adaptive mechanisms to improve wheat and other crops in drought- and salinity-prone environments. *Annals of Applied Biology*. 146, 239-259.
- Rosielie, A. A., Hamblin, J., 1981. Theoretical aspects of selection for yield in stress and non-stress environments. *Crop Science*. 21, 943-946.
- Saba, J., Moghaddam, M., Ghassemi, M., Nishabouri, M.R., 2001. Genetic properties of

- drought resistance indices. *Journal of Agricultural Science and Technology.* 3, 43-49.
- Salarpour Gharba, F., Farahbakhsh, H., 2014. Effect of Salicylic Acid Drought Stress on Physiological and Physical Characteristics of Fennel. *For agricultural purposes.* 3, 765-778.
- Shirazi, E., Fazeli-nasab, B., Ramshin, H.A., Fazel Najafabadi, M., Izadi darbandi, A., 2016. Evaluation of Drought Tolerance in wheat Genotypes under Drought Stress at Germination Stage. *Journal of Crop Breeding.* 8, 207-219. [In Persian with English Summary].
- Shafazadeh, M.K., YazdanSepas, A., Amini, A., Ghanadha, M. R., 2004. Study of terminal drought tolerance in promising winter and facultative wheat genotypes using stress susceptibility and tolerance indices. *Seed and Plant.* 20, 57-71. [In Persian with English Summery].
- Srivastava, J.P., Acevedo, E., Varma, S., 1987. Drought Tolerance in Winter Cereal. 2ed. John Wiley Pub., USA. 678 pp.
- Sundari, T., Tohari, S., Mangoendidjojo, W., 2005. Yield performance and tolerance of mungbean genotypes to shading. *Journal Pertanian.* 12, 12-19.
- Taghian, A.S., Abo-Elwafa, A., 2003. Multivariate and rapid analysis of drought tolerance in spring wheat. *Assiut Journal of Agricultural Science.* 34, 1-25.
- Whan, B.R. 1995. The emergence of semidwarf and standard wheats, and its association with coleoptile length. *Australian Journal of Experimental Agriculture.* 16, 411-416.
- Xing, S.C., Li, F., Guo, Q.F., Liu, D.R., Zhao, X.X., Wang, W. 2009. The involvement of an expansin gene TaEXPB23 from wheat in regulating plant cell growth. *Biologia Plantarum.* 53, 429-434.
- Zebarjadi, A., Asgar, S., Najafi, A., Rezaiezad, A. 2016. Evaluation of drought tolerance of rapeseed genotypes using drought resistance indices. *Environmental Stresses in Crop Science.* 8, 345-348. [In Persian with English Summary].